

И. А. РАТЬКОВСКИЙ, Л. Н. НОВИКОВА, С. Е. ОРЕХОВА,
Л. Я. КРИСЬКО, Г. И. НОВИКОВ

ТЕРМОДИНАМИЧЕСКОЕ ИССЛЕДОВАНИЕ ПРОЦЕССОВ
ПАРООБРАЗОВАНИЯ ДИХЛОРИДОВ Mn, Fe, Co и Ni

(БЕЛОРУССКИЙ ТЕХНОЛОГИЧЕСКИЙ ИНСТИТУТ ИМ. С. М. КИРОВА)

Масс-спектрометрическим методом в сочетании с эффузионной методикой Кнудсена, статическим методом и методом точки кипения определен состав паровой фазы и измерено давление индивидуальных компонентов пара дихлоридов Mn, Fe, Co и Ni в широком диапазоне температур. Рассчитаны термодинамические характеристики процессов парообразования исследованных хлоридов и теплоты образования и абсолютные энтропии газообразных ($MnCl_2$), ($FeCl_2$), (Fe_2Cl_4), ($CoCl_2$) и ($NiCl_2$).

Возрастающий интерес к исследованию процессов парообразования индивидуальных галогенидов и систем на их основе обусловлен склонностью этих соединений к полимеризации и комплексообразованию как в конденсированном, так и в газообразном состояниях. Как показало масс-спектральное исследование $CrCl_2$ [1], состав пара в этой системе значительно более сложен, чем это предполагалось ранее [2]. Было показано, что масс-спектрометрическому исследованию бинарных солевых систем на основе хлоридов обязательно должно предшествовать тщательное изучение индивидуальных соединений, составляющих ту или иную анализируемую систему [3].

С этих позиций представляет интерес систематическое исследование процессов парообразования дихлоридов Mn, Fe, Co и Ni и систем на их основе с хлоридами щелочных металлов в широком диапазоне температур масс-спектрометрическим методом в сочетании с эффузионной методикой Кнудсена и статическим методом с кварцевым мембранным нуль-манометром.

Таблица 1

Результаты масс-спектрометрического исследования состава пара
 $MnCl_2$, $FeCl_2$, $CoCl_2$ и $NiCl_2$

Система	Температурный диапазон, °К	Масс-спектр пара	Соотношение ионных токов при разных ионизирующих напряжениях (эВ):			L_T , ккал/мол		Состав пара
			70	25	17	70 эВ	17 эВ	
$MnCl_2$	745—871	Mn^+	10	8	—	$52,9 \pm 2,0$	—	—
		$MnCl^+$	40	35	25	$53,4 \pm 1,4$	$53,2 \pm 1,2$	—
		$MnCl_2^+$	100	100	100	$53,5 \pm 1,2$	$53,3 \pm 1,2$	($MnCl_2$)
		$Mn_2Cl_3^+$	0,1	—	—	—	—	(Mn_2Cl_4)
$FeCl_2$	668—766	Fe^+	6	—	—	—	—	—
		$FeCl^+$	40	28	11	$50,0 \pm 1,1$	$47,2 \pm 1,1$	—
		$FeCl_2^+$	100	100	100	$49,7 \pm 1,3$	$47,1 \pm 1,0$	($FeCl_2$)
		$Fe_2Cl_3^+$	4	—	—	$63,0 \pm 1,5$	—	(Fe_2Cl_4)
$CoCl_2$	734—900	Co^+	22	12	—	$49,2 \pm 1,4$	—	—
		$CoCl^+$	80	60	30	$49,8 \pm 1,1$	$49,7 \pm 1,3$	—
		$CoCl_2^+$	100	100	100	$49,8 \pm 1,3$	$49,8 \pm 1,6$	($CoCl_2$)
		$Co_2Cl_3^+$	0,01	—	—	—	—	(Co_2Cl_4)
$NiCl_2$	750—902	Ni^+	5	—	—	—	—	—
		$NiCl^+$	30	24	—	$51,4 \pm 1,3$	$51,3 \pm 1,5$	—
		$NiCl_2^+$	100	100	100	$51,5 \pm 1,2$	$51,6 \pm 1,4$	($NiCl_2$)

Термодинамические характеристики процессов сублимации хлоридов
Mn, Fe, Co и Ni (метод Кнудсена)

Процесс	$T_{ср}, ^\circ K$	$\Delta H_T^0,$ ккал/мол	$\Delta S_T^0, \text{э. е.}$	$\Delta H_{298}^0,$ ккал/мол	$\Delta S_{298}^0, \text{э. е.}$	$\lg P = A - \frac{B}{T}$ (мм рт. ст.)	
						A	B
$[MnCl_2] = (MnCl_2)$	808	$53,5 \pm 1,2$	$42,0 \pm 0,9$	$58,1 \pm 1,2$	$51,3 \pm 0,9$	12,0800	11696
$[FeCl_2] = (FeCl_2)$	715	$47,1 \pm 1,2$	$40,2 \pm 1,1$	$50,8 \pm 1,3$	$48,1 \pm 1,2$	11,6850	10291
$2[FeCl_2] = (Fe_2Cl_4)$	743	$62,4 \pm 1,5$	$55,7 \pm 1,6$	$64,5 \pm 1,8$	$60,0 \pm 2,1$	15,0700	13640
$[CoCl_2] = (CoCl_2)$	817	$49,8 \pm 1,6$	$39,8 \pm 1,1$	$54,4 \pm 1,6$	$49,0 \pm 1,1$	11,5900	10883
$[NiCl_2] = (NiCl_2)$	826	$51,5 \pm 1,3$	$40,8 \pm 0,6$	$57,1 \pm 1,3$	$50,1 \pm 0,6$	11,8000	11276

В настоящем сообщении приведены результаты исследования процессов парообразования индивидуальных дихлоридов Mn, Fe, Co и Ni.

Безводные хлориды марганца, кобальта, никеля были синтезированы путем обезвоживания соответствующих кристаллогидратов на воздухе при 150—200°C с двукратной перегонкой в вакууме при 850, 750 и 800°C с последующим проплавлением в вакуумированных кварцевых ампулах. Безводный хлорид железа (II) был синтезирован из кристаллогидрата, полученного растворением восстановленного железа в концентрированной HCl. Избыток кислоты и воды отгоняли в вакууме через ловушку, охлаждаемую жидким азотом. Полученный таким образом безводный продукт подвергался многократной перегонке при 750°C и проплавлялся в вакууме. Все хлориды были идентифицированы методами рентгенофазового и химического анализов. Рентгенограммы безводных хлоридов полностью соответствовали данным работы [4]. По результатам химического анализа степень чистоты $MnCl_2$, $CoCl_2$ и $NiCl_2$ составляла 99,94, 99,96 и 99,89% соответственно, для $FeCl_2$ — 99,88%. Количество Cl^- ионов определяли аргентометрически, Mn^{2+} , Co^{2+} и Ni^{2+} — трилометрически с использованием в качестве индикатора пирокатехинового фиолетового. Количество Fe^{2+} определяли перманганометрически.

Масс-спектрометрическое исследование проводилось на приборе [5] по методике, описанной ранее [2]. В качестве материала эффузионных ячеек использовался молибден. Ячейки нагревали вольфрамовой печью сопротивления, армированной окисью алюминия. Температура ячеек контролировалась термпарой класса ПП-1. Для определения температурного градиента эффузионные ячейки калибровались по CsCl [6]. Ошибка в определении абсолютной величины давления пара составляла не более 17%, что соответствует градиенту температуры ячейки +9°C.

Результаты масс-спектрального анализа состава пара в анализируемых системах приведены в табл. 1. При составлении таблицы ионные токи, соответствующие отдельным изотопам наблюдаемых ионов, суммировались и были отнесены к ионному току $MeCl_2^+$, интенсивность которого принималась за 100. Величины L_T получены из графика зависимости $\lg(I^+ \cdot T) = f(1/T)$. На рисунке представлен масс-спектр иона $Fe_2Cl_3^+$.

Из анализа результатов масс-спектрального исследования (табл. 1) был сде-

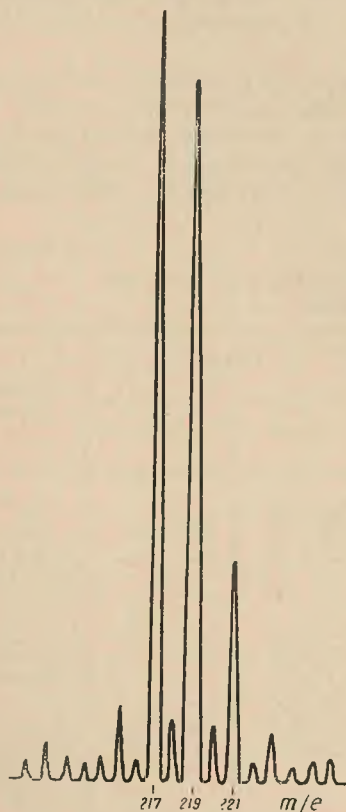


Рис. Масс-спектр иона $Fe_2Cl_3^+$
(система $FeCl_2$)

Термодинамические характеристики процессов испарения и сублимации дихлоридов Mn, Fe, Co и Ni (статический метод; метод точки кипения).

Соединение	Температурный диапазон, °К	ΔH_T^0 , ккал/мол	ΔS_T^0 , э. е.	$\lg P = A - \frac{B}{T}$ (мм рт. ст.)		Литературные данные			ссылка
				A	-B	температурный диапазон	ΔH_T^0 , ккал/мол	ΔS_T^0 , э. е.	
MnCl ₂	1075—1300	40,01±0,05	27,2 ± 0,44	8,83±0,09	8745,5±114	726—943	38,64±0,73	25,98±0,77	[13]
	940—1170	32,71±0,35	25,66±0,40	8,49±0,08	7150,2±76	720—1045	35,37±1,27	23,37±1,16	[14]
FeCl ₂	1023—1203	36,58±0,35	27,60±0,40	8,91±0,08	7997,8±76	700—930	32,78	25,86	[15]
	940—1170	32,71±0,35	25,66±0,40	8,49±0,08	7150,2±76	708—834	34,1±1,46	27,05±1,3	[13]
CoCl ₂	1023—1203	36,58±0,35	27,60±0,40	8,91±0,08	7997,8±76	745—800	40,12±2,3	30,88±2,3	[13]
	973—1203	54,02±0,35	43,46±0,40	12,38±0,08	11809,0±76	700—783	52,10±1,5	41,05±1,46	[13]
NiCl ₂	973—1203	54,02±0,35	43,46±0,40	12,38±0,08	11809,0±76	550—608	52,757±0,39	42,635±0,464	[16]
	973—1203	54,02±0,35	43,46±0,40	12,38±0,08	11809,0±76	550—608	53,591±0,43	43,702±0,485	[16]

лан вывод, что состав паровой фазы в системе NiCl_2 соответствует (NiCl_2), в системах MnCl_2 и CoCl_2 — (MeCl_2); степень димеризации в исследуемом температурном диапазоне очень незначительна и не превышает 0,01% (система MnCl_2) и меньше 0,001% (система CoCl_2). Состав газовой фазы в системе FeCl_2 более сложен. Наряду с мономерными образованиями в паре присутствуют значительные количества димеров. Анализируя температурную зависимость ионных токов (L_T) при разных ионизирующих напряжениях и кривые зависимости ионных токов от величины ионизирующего напряжения, можно принять, что вклад ионов FeCl^+ и FeCl_2^+ как фрагментов димерной молекулы в суммарную концентрацию (Fe_2Cl_4) за счет диссоциативной ионизации составляет 9% при 763°K. Давление насыщенного пара в анализируемых системах было определено методом полного изотермического испарения [8] и пересчитано на весь температурный диапазон исследования по методу Инграма [9]. Результаты приведены в таблице 2. При расчетах использовались термодинамические величины, взятые из [10].

Давление насыщенного пара дихлоридов железа, кобальта, никеля было измерено статическим методом с кварцевым мембранным нульманометром [11]; давление в системе дихлорида марганца — методом точки кипения [12]. Полученные результаты, обработанные методом наименьших квадратов, удовлетворительно описываются уравнениями (табл. 3).

Экспериментальные данные по давлению пара газообразных компонентов были использованы для расчета термодинамических характеристик образования (MnCl_2), (FeCl_2), (Fe_2Cl_4), (CoCl_2) и (NiCl_2), равных соответственно (ΔH°_{f298} , ккал/мол, и S°_{298} , э. е.): $-56,9 \pm 1,4$ и $79,4 \pm 1,2$; $-30,7 \pm 2$ и $76,8 \pm 1,5$; $-98,5, \pm 2,4$ и $117,4 \pm 2,3$; $-20,5 \pm 1,9$ и $73,7 \pm 1,3$; $-16,0 \pm 1,5$ и $76,2 \pm 1,0$. При расчетах S°_{p298} [MnCl_2] и (MnCl_2), а также термодинамические величины для MeCl_2 были взяты из [10]. ΔS°_{p298} остальных процессов, по аналогии с MnCl_2 , принимали равной $-9,0 \frac{\text{кал}}{\text{град} \cdot \text{мол}}$, S°_{p298} (Fe_2Cl_4) была рассчитана приближенным статистическим методом и равнялась $31,7 \frac{\text{кал}}{\text{град} \cdot \text{мол}}$, ΔS°_{p298} процесса димеризации (Fe_2Cl_4) равна $-4,7 \frac{\text{кал}}{\text{град} \cdot \text{мол}}$.

ЛИТЕРАТУРА

- И. А. Ратьковский, Т. А. Прибыткова. Тезисы докладов XV Международной конференции по координационной химии. М., 1973, с. 414.
- R. Schoonmaker, A. Fridman, R. Porter. J. Chem. Phys., **31**, 1586 (1959).
- И. А. Ратьковский, Т. А. Прибыткова, Г. И. Новиков. Ж. физ. химии, 1974, т. 67, № 11, с. 2950.
- Л. И. Миркин. Справочник по рентгеноструктурному анализу поликристаллов. М., Изд. физ.-мат. лит., 1961, с. 459, 486.
- И. А. Ратьковский, Б. А. Бутылин, Г. И. Новиков. Приборы и техника эксперимента, 1970, № 6, с. 223.
- M. D. Sehser, J. Fine. J. Chem. Phys., **36**, 1647 (1962).
- R. Honig. J. Chem. Phys., **19**, 1305 (1951).

8. Л. Н. Сидоров. Докл. АН СССР, 1967, т. 176, с. 1351.
9. М. Инграм, Дж. Дроуарт. Сб. «Исследование при высоких температурах», М., Изд. ин. лит., 1962, с. 274.
10. М. Х. Карапетьянц, М. Л. Карапетьянц. Основные термодинамические константы неорганических и органических веществ. М., «Химия», 1968, с. 155.
11. Г. И. Новиков, А. В. Суворов. Заводск. лаборатория, 1959, № 6, с. 750.
12. Г. И. Новиков, О. Г. Поляченко. Ж. неорганической химии, 1961, т. 6, с. 1951.
13. H. Schäfer. Z. anorgan und allgem. Chem., 278, 300 (1955).
14. D. Mirthy, V. V. Dadare. Indian. J. Chem., 6, № 12, 714 (1968).
15. Г. И. Новиков, А. К. Баев, О. Г. Поляченко. Сб. «Химия редких элементов». Изд. ЛГУ, 1964, с. 63.
16. I. R. Mc Creary, R. J. Thorn. J. Chem. Phys., 48, № 7, 3290 (1968).

Кафедра общей
и неорганической химии

Поступила в редакцию
14 июня 1974 года